

论文相似性检测报告（详细版）

报告编号: ea4408fc-2982-4082-b21e-a61000eb7ad8

原字数: 16,789

检测日期: 2016年05月24日

检测范围: 中国学术期刊数据库 (CSPD)、中国学位论文全文数据库 (CDDb)、中国学术会议论文数据库 (CCPD)、中国学术网页数据库 (CSWD)

检测结果:

一、总体结论

总相似比: **9.70%** (参考文献相似比: **0.00%**, 排除参考文献相似比: **9.70%**)

二、相似片段分布



注: 绿色区域为参考文献相似部分, 红色区域为其它论文相似部分。

三、相似论文作者 (举例7个)

[点击查看全部举例相似论文作者](#)

四、典型相似论文 (举例19篇)

序号	相似比	相似论文标题	参考文献	论文类型	作者	来源	发表时间
1	1.49%	信息		期刊论文		设备管理与维修	2007
2	1.49%	中医生态学思想初探		学位论文	郭凤鹏	上海中医药大学	2009
3	1.49%	深孔内径测量装置设计		期刊论文	程海鹰 等	制造业自动化	2014
4	1.49%	数控机床进给系统步进电动机的计算与选型		期刊论文	尹志强 等	机床与液压	2010

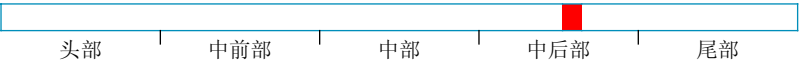
序号	相似比	相似论文标题	参考文献	论文类型	作者	来源	发表时间
5	1.49%	<u>论自然辩证法视野下人与自然和谐关系的构建</u>		期刊论文	邹桂芝	学理论	2010
6	1.49%	<u>浅谈化验环境保护</u>		期刊论文	赵树钢	江西化工	2010
7	1.49%	天然自然向人工自然转化中的风险探析		学位论文	黄乐营	东北大学	2009
8	1.49%	<u>合规行为的效力:一个超越实证法的分析</u>		期刊论文	傅蔚冈	浙江学刊	2010
9	1.49%	<u>生态文明建设策略研究--以张家口市为例</u>		期刊论文	孙晓璐 等	河北建筑工程学院学报	2015
10	1.49%	<u>基于激光测量的扬声器异音故障检测方法研究</u>		学位论文	关帅	天津科技大学	2012
11	1.49%	<u>面向现代制造业,培养高技能“银领”人才--现代制造类专业产学研合作办学的实践研究</u>		期刊论文	李玉春 等	武汉职业技术学院学报	2005
12	1.49%	<u>浅谈现代数控技术的发展趋势</u>		期刊论文	谢情燕	价值工程	2011
13	1.49%	<u>以VC和ADAMS为平台的三自由度机器人控制方法研究及软件开发</u>		学位论文	沈艳丽	东北大学	2003
14	1.49%	<u>面向数控加工的三角网格曲面刀具路径设计方法研究</u>		学位论文	王小芳	湖南大学	2013
15	1.49%	<u>计算机数控技术及其应用</u>		期刊论文	卢明	沿海企业与科技	2003

[点击查看全部举例相似论文](#)

五、相似论文片段（共7个）

1	送检论文片段	相似论文片段 【1.49%】
	<p>位置:</p>  <p>数控技术是制造业实现自动化、柔性化、集成化生产的基础,现代的CAD/CAM、柔性制造系统、计算机集成制造系统等等,都是建立在数控技术基础之上的。同时,数控技术也关系到国</p>	<p>来源: 将离心式压缩机应用于赖氨酸生产的优势分析 [期刊论文]《沿海企业与科技》,2003年 吕扶才</p> <p>手段t它的关联效益和辐射能力更是难以估计。数控技术又是发展制造业实现自动化、柔性化、集成化生产的基础。现代的柔性制造系统(FMS)以及计算机集成制造系统(CIMS)都是建立在</p>

<p>家战略地位，是体现国家综合国力水平的重要基础性产业因素之一，其水平高低是衡量一个国家制造业现代化程度的核心标志。实现加工机床及生产过程数控化，已成为当今制造业</p>	<p>数控技术基础之上。数控技术又是国防现代化的重要战略手段，并反映出不可替代的重要作用。因此，数控技术是关系到国家战略地位，体现国家综合国力水平的重要基础性产业；其水平</p>
<p>2 送检论文片段</p>	<p>相似论文片段 【1.49%】</p>
<p>位置： </p> <p>变形量 (mm)； F_m为丝杠工作载荷 (N)； L为滚珠丝杠在支承间的受力长度 (mm)，滚珠丝杠工作长度为2900mm， 考虑两端安装轴承，左右支撑的中心距离约为3150mm； E为材料弹性模量，对刚$E=20.6 \times 10^4 \text{MPa}$； A为滚珠丝杠按内径确定的横截面积 (mm^2)。 代入式 (3-6) 中计算</p> <p>2) 滚珠与螺纹滚道间的接触变形量 (见文献[6]) (3-7) 式中：D_w为滚珠直径，$D_w=3.969\text{mm}$； Z为滚珠总数量=$Z \times \text{圈数} \times \text{列数}$； Z为一圈滚珠数，； d_m为滚珠丝杠的公称直径 (mm)； F_{YJ}为预紧力 (N)； F_m为滚珠丝杠工作载荷 (N)。</p>	<p>来源：铁道货车钩尾框扁销孔加工技术研究 [学位论文]周增光，2004年 上海交通大学</p> <p>丝杠的拉压变形量为换位过程中的变形量() $241969.32.140106.2014.317501350 \times ? \times \times \times = \text{换} \delta = 0.0032\text{mm}$加工过程中的变形量,此时的 F_m取 $NF_h 6014 =$ 上海交通大学工程硕士学位论文 第四章 扁销孔加工装置机械方案设计 $26() 241969.32.140106.2014.317506014 \times ? \times \times \times = \text{加} \delta = 0.013\text{mm}^2$ 滚珠与螺纹滚道间的接触变形量计算该变形量与滚珠的列 圈数有关 即与滚珠的总量有关 与滚珠丝杠的长度无关 其计算公式为 $3 \ 23 \ 22) 3) / [((0013.00013.0abddFfZFfFwYJwmYJwm? = \Sigma \pi \delta \ 4.10$ w_d 滚珠直径 mm $mmdW 969.3 =$ YJF 滚珠丝杠预紧力, $kgfFYJ 22 = mF$ 滚珠丝杠工作载荷 (kg) d 丝杠的公称直径 取 $mmd 40 = a$ 滚珠的圈数 取 $5.2 = ab$ 滚珠的列数 取 $1 = b$ 经计算得滚珠与螺纹滚道间的接触</p>

<p>$= Z \times \text{圆数} \times \text{列数} = 39.5 \times 2 \times 2.5 \times 1 = 198$</p> <p>将上面各结果代入式 (3-7) 中进行计算</p> <p>滚珠丝杠有预紧力, 且预紧力</p>	
<p>3 送检论文片段</p> <p>位置: </p> <p>负载转矩T_{eq}有快速空载启动和承受最大工作负载两种情况进行计算。</p> <p>1) 快速空载启动时电动机的转轴所承受的负载转矩T_{eq1} (见文献[2])</p> <p>考虑纵向传动链的总效率η, 计算快速空载启动时折到电动机转轴上的最大加速转矩 (见文献[2]):</p> $(3-12)$ <p>式中: n_m——对应纵向空载最快移动速度的步进电机最高转速, 单位为r/min; t_a ——步进电动机由静止不动到加速至n_m转速所需要的时间</p>	<p>相似论文片段 【1.49%】</p> <p>来源: <u>一维视觉岩心图像扫描系统的研究</u> [学位论文]董菲, 2014年 天津科技大学</p> <p>启动时折算到电动机转轴上的最大加速转矩ξ_1; 另一部分是来自于转轴和滚筒运动时折算到电动机转轴上的摩擦转矩L。由于后者相当于前者很小, 可以忽略不计, 则有: r_e。 $l = \text{瓦}m$。+巧\approx乙一式 (3-15) 已知对应空载最快移动速度的步进电动机最高转速n $= 255 \text{ r/min}$。设步进电动机由静止到加速至n。转速所需时间$t_a = 0.4 \text{ s}$, 传动链效率$\eta = 0.7$。则$r_e = \dots$: 丝玉立一: $\dots \times 10^3$: o... 聊式 (3. a 1 2, c x 1 9. 5 5 6 x 2 5 5 1 8 6 N 1 6) = \dots? \dots \times $\dots \times 1 \text{ I} = \text{I} - ?m \text{ U} \text{ I} 1 \dots 60. t. \text{ 刀 } 60 \times 0.4 = 0.7 \dots$ 故快速空载启动时电动机转轴所承受的负载转矩</p>
<p>4 送检论文片段</p> <p>位置: </p>	<p>相似论文片段 【1.49%】</p> <p>来源: <u>扬声器故障检测及分类识别方法研究</u> [学位论文]高登科, 2013年 天津科技大学</p>

空载启动时折到电动机转轴上的**最大加速转矩**（见文献[2]）：

$$(3-12)$$

式中： n_m ——对应纵向**空载最快移动速度的步进电机最高转速**，单位为r/min；

t_a ——步进电动机由静止不动到加速至 n_m 转速所需要的时间，单位为s。

其中

$$(3-13)$$

式中： v_{max} ——纵向**空载最快移动速度**， $v_{max}=2000\text{mm/min}$

θ ——纵向**步进电机步距角**，为 0.6°

δ ——纵向脉冲当量， $\delta=0.01\text{mm/脉冲}$

代入式（3-13）计算，得

设**步进电机由静止**加速到 n_m 所需要时间 $t_a=0.4\text{s}$ ，纵向**传动链总效率** $\eta=0.7$ ，代入式（3-12）

计算，得

移动

转矩写。由于滚珠丝杠副传动效率很高，瓦相对于Z一、L较小，因此可以忽略不计，那么我们得到：毛。=互毗+弓式（3—4）考虑**传动链总效率** r_1 ，空载启动时折算到电机转轴上**最大加速转矩**为：丁. . : —2 z t J e q—* n=宰! 式（3—5）1口——

6 0 t a r l' .、。。7 其中，刀为**传动链总效率**，为0. 7； t_a 为**步进电机由静止到加速到最高转速所需时间**，为0. 4 s； 甩。为对应**空载最快移动速度的步进电机最高转速**，单位为 r / m i n 。 n： 监墨“” 3 6 0 8 式（3—6）其中：%。为**空载移动速度**，设计要求为 1 5 0 0 m m / m i n ； 口为预选**步进电机步距角**，为 1 . 8 。

5

送检论文片段

相似论文片段

【1.49%】

位置：



转矩 符合要求。

3.3.5 步进电机性能校核

1) 最快工进速度时电动机输出转矩校核

最快工进速度

脉冲当量

来源：数控车床进给系统步进电动机的计算与选型

[期刊论文]《机床与液压》，2010年 尹志强 等

频率, Hz图2 130BYG5501的矩频特性图②**最快空载移动时电动机输出转矩校核**设计给定z向**最快空载移动速度**” —=6000mm / min, 求出电动机对应的运行频率 $L=6\ 000 / (60 \times 0.01) = 10\ 000\ \text{Hz}$ 。从图2可以看出, 在此频率下, 电动机的输出转矩k约为7 N?in, 大于快速空载启动时的负载转矩毛。=2.82 N?n1, 满足要求。③**最快空载移动时电动机运行频率校核最快空载移动速度** $t_0 = 6\ 000\ \text{mm / min}$ 对应的电动机运行频率 $I_0 = 10\ 000\ \text{Hz}$ 。查表1, 130BYG5501的极限

<p>求出电动机对应运行频率</p> <p>由130BYG3502的运行矩频特性（表3.2）可知，在此频率下，电动机转矩远大于，满足要求。</p> <p>2) 最快空载移动时电动机输出转矩校核</p> <p>最快空载移动速度</p> <p>电动机对应运行频率</p> <p>由130BYG3502的运行矩频特性（表3.2）可知，在此频率下，电动机转矩</p>	<p>运行</p>
<p>6</p> <p style="text-align: center;">送检论文片段</p> <p>位置： </p> <p>零件。如车削内、外圆柱面、圆锥面、圆弧面、端面、切槽、倒角、车螺纹等，尤其适合多品种、中小批量的轮番加工。工艺适应性强，加工效率高，废品率低，成品一致性好，可降低对工人技术熟练程度的要求。编程容易，操作简单，功能全面，是理想的中型机械加工设备。主轴可实现分段变频无级变速。宽段速，大重叠，全自动，适应加工范围</p>	<p style="text-align: right;">相似论文片段 【1.49%】</p> <p>来源：信息 [期刊论文]《设备管理与维修》，2007年</p> <p>加工各种形状复杂的轴、套、盘类零件。如车削内、外圆柱面、圆锥面、圆弧面、端面、切槽、倒角、钻孔、扩孔、车螺纹等，尤其适合多品种、中小批量的轮番加工，装夹方便，工艺适应性强，加工效率高，废品率低，成品一致性好。可降低对工人技术熟练程度的要求，编程容易，操作简单，是理想的中小批量型机械加工设备。机床的加工范围</p>
<p>7</p> <p style="text-align: center;">送检论文片段</p> <p>位置： </p> <p>人类正常生存和发展的条件、现象和生物有害健康。噪声污染是指所产生的环境噪声超过国家规定的环境噪声排放标准，并干扰他人正常工作、学习、生活的现象。人类活动造成的污染物质，人体位置、环境保护或表面内部出现超过国家标准的放射性物质或者射线。多国家和地方当局，如安装标准</p>	<p style="text-align: right;">相似论文片段 【1.49%】</p> <p>来源：中医生态学思想初探 [学位论文]郭凤鹏，2009年 上海中医药大学</p>

六、全部举例相似论文作者（共7个）

序号	作者	典型片段总相似比	剩余相似比
1	尹志强	1.49%	8.21%
2	王玉琳	1.49%	8.21%
3	郭凤鹏	1.49%	8.21%
4	高登科	1.49%	8.21%
5	吕扶才	1.49%	8.21%
6	周增光	1.49%	8.21%
7	董菲	1.49%	8.21%

七、相似论文（举例19篇）

序号	相似比	相似论文标题	参考文献	论文类型	作者	来源	发表时间
1	1.49%	<u>信息</u>		期刊论文		设备管理与维修	2007
2	1.49%	中医生态学思想初探		学位论文	郭凤鹏	上海中医药大学	2009
3	1.49%	<u>深孔内径测量装置设计</u>		期刊论文	程海鹰 等	制造业自动化	2014
4	1.49%	<u>数控车床进给系统步进电动机的计算与选型</u>		期刊论文	尹志强 等	机床与液压	2010
5	1.49%	<u>论自然辩证法视野下人与自然和谐关系的构建</u>		期刊论文	邹桂芝	学理论	2010
6	1.49%	<u>浅谈化验环境保护</u>		期刊论文	赵树钢	江西化工	2010
7	1.49%	天然自然向人工自然转化中的风险探析		学位论文	黄乐营	东北大学	2009
8	1.49%	<u>合规行为的效力:一个超越实证法的分析</u>		期刊论文	傅蔚冈	浙江学刊	2010

序号	相似比	相似论文标题	参考文献	论文类型	作者	来源	发表时间
9	1.49%	<u>生态文明建设策略研究--以张家口市为例</u>		期刊论文	孙晓璐 等	河北建筑工程学院学报	2015
10	1.49%	<u>基于激光测量的扬声器异音故障检测方法研究</u>		学位论文	关帅	天津科技大学	2012
11	1.49%	<u>面向现代制造业,培养高技能“银领”人才--现代制造类专业产学研合作办学的实践研究</u>		期刊论文	李玉春 等	武汉职业技术学院学报	2005
12	1.49%	<u>浅谈现代数控技术的发展趋势</u>		期刊论文	谢情燕	价值工程	2011
13	1.49%	<u>以VC和ADAMS为平台的三自由度机器人控制方法研究及软件开发</u>		学位论文	沈艳丽	东北大学	2003
14	1.49%	<u>面向数控加工的三角网格曲面刀具路径设计方法研究</u>		学位论文	王小芳	湖南大学	2013
15	1.49%	<u>计算机数控技术及其应用</u>		期刊论文	卢明	沿海企业与科技	2003
16	1.49%	<u>一维视觉岩心图像扫描系统的研究</u>		学位论文	董菲	天津科技大学	2014
17	1.49%	<u>扬声器故障检测及分类识别方法研究</u>		学位论文	高登科	天津科技大学	2013
18	1.49%	<u>将离心式压缩机应用于赖氨酸生产的优势分析</u>		期刊论文	吕扶才	沿海企业与科技	2003
19	1.49%	<u>铁道货车钩尾框扁销孔加工技术研究</u>		学位论文	周增光	上海交通大学	2004

[查看全文报告请点击](#)

说明:

1. 总相似比≈送检论文与检测范围全部数据相似部分的字数/送检论文总字数
2. 参考文献相似比≈送检论文与其参考文献相似部分的字数/送检论文总字数
3. 排除参考文献相似比=总相似比-参考文献相似比
4. 剩余相似比≈总相似比-典型片段总相似比
5. 本报告为检测系统算法自动生成,仅供参考